

# Содержание

Введение	2
1 Описание алгоритма	3
2 Исследование точности восстановления вариационного метода от радиуса супергаусса	6

# Введение

В документе приведено описание алгоритма восстановления волнового фронта, а также исследование зависимости точности восстановления от радиуса суперагаусса.

# 1 Описание алгоритма

В вариационном методе задача восстановления формулируется в виде задачи минимизации целевого функционала невязки между производными искомой функции по  $x, y$  и соответствующими наклонами волнового фронта  $g_1, g_2$ . Метод заключается в построении проекционно-разностной схемы и решении её методом Фурье. Рассмотрим функцию от двух переменных  $u(x, y)$ , ее производные имеют вид  $u_x(x, y), u_y(x, y)$ . Введем сетку:

$$\omega_h = \{(x_i, y_j) : x_i = ih_1, y_j = jh_2, i = 0..N_1, j = 0..N_2; x_{N_1} = 1, y_{N_2} = 1, x_0 = -1, y_0 = -1\} \quad (1)$$

Матрицы  $U, g_1, g_2$  являются дискретными представлениями функций  $u(x, y), u_x(x, y), u_y(x, y)$  на сетке  $\omega_h$ . Задача восстановления волнового фронта состоит в приближенном восстановлении матрицы матрицы  $U$ , по известным наклонам  $g_1, g_2$ .

Рассмотрим функционал

$$J(u) = \int_{-1}^1 \int_{-1}^1 ((u_x - g_1)^2 + (u_y - g_2)^2 + \alpha u^2) dx dy$$

Функция  $u$  принадлежит соболевскому пространству  $W_2^1(\Omega)$ , пространству периодических функций, определенных в области  $\Omega = [-1, 1] \times [-1, 1]$  и имеющих суммируемые с квадратом первые обобщенные производные по  $x, y$ . Минимизация функционала позволяет найти функцию  $u$  с наименьшими квадратичными отклонениями градиента от измеренных локальных наклонов  $g_1, g_2$ . Дополнительное слагаемое  $\alpha u^2$ , является регуляризатором Тихонова с параметром  $\alpha$ . Благодаря регуляризатору устраняются проблемы единственности минимума функционала и возможной погрешности исходных данных. Необходимым условием минимума функционала является:

$$(u_x, \phi_x) + (u_y, \phi_y) + \alpha(u, \phi) = (g_1, \phi_x) + (g_2, \phi_y), \quad \forall \phi \in W_2^1(\Omega) \quad (2)$$

Здесь  $(\cdot, \cdot)$  - скалярное произведение в  $L_2(\Omega)$ .

Определим на  $\Omega$  систему финитных базисных функций  $\{\phi_i(x)\}, i \in [0, N-1]$ .

$$\phi_i(x) = \begin{cases} \frac{x-x_{i-1}}{h}, x \in [x_{i-1}, x_i] \\ \frac{x_{i+1}-x}{h}, x \in [x_i, x_{i+1}] \\ 0 \notin [x_{i-1}, x_{i+1}]. \end{cases} \quad i \in [1, N-1]; \quad \phi_0(x) = \begin{cases} \frac{x_1-x}{h}, x \in [x_0, x_1] \\ \frac{x-x_{N-1}}{h}, x \in [x_{N-1}, x_N] \\ 0 \in [x_1, x_{N-1}]. \end{cases}$$

Введем пространство конечных элементов  $W_h = \mathcal{L}\{\phi_i(x)\phi_j(y)\}_{i,j=0}^{N_1-1, N_2-1} \in W_2^1(\Omega)$ . Проекционная схема решения (2) состоит в нахождении функции  $u^h \in W_h$ , которая при любых  $k, l$  удовлетворяет тождеству:

$$(u_x^h, \phi_x) + (u_y^h, \phi_y) + \alpha(u^h, \phi) = (g^1, \phi_x) + (g^2, \phi_y) \quad (3)$$

Где:

$$\begin{aligned} \phi(x, y) &= \phi_k(x)\phi_l(y) \\ u^h(x, y) &= \sum_{i=0}^{N_1-1} \sum_{j=0}^{N_2-1} u_{ij} \phi_i(x) \phi_j(y) \\ u_{ij} &= u(x_i, y_j) \end{aligned}$$

Подставив в (3) необходимые значения получим разностную схему

$$B_2 \Lambda_1 u + B_1 \Lambda_2 u + \alpha B_1 B_2 u = F(g_1, g_2) \quad (4)$$

Правая часть  $F(g_1, g_2)$  не определена однозначно и будет уникальной для каждого представления  $g_1, g_2$ . Введем дополнительный регуляризатор  $\gamma(\Lambda_1 \Lambda_2)^s u$ . В таком случае схема будет иметь вид:

$$B_2 \Lambda_1 u + B_1 \Lambda_2 u + \alpha B_1 B_2 u + \gamma(\Lambda_1 \Lambda_2)^s u = F(g_1, g_2) \quad (5)$$

Разделим обе части равенства на  $h_1 h_2$ . Это необходимо будет учесть в дальнейшем при получении  $F$ . В этом случае операторы  $\Lambda_{1,2}, B_{1,2}$  в матричной форме имеют вид:

$$\Lambda_i = \frac{1}{h_i^2} \begin{bmatrix} 2 & -1 & 0 & \dots & 0 & 0 & -1 \\ -1 & 2 & -1 & \dots & 0 & 0 & 0 \\ 0 & -1 & 2 & \dots & 0 & 0 & 0 \\ \dots & \dots & \dots & \dots & \dots & \dots & \dots \\ 0 & 0 & 0 & \dots & -1 & 2 & -1 \\ -1 & 0 & 0 & \dots & 0 & -1 & 2 \end{bmatrix}$$

$$B_i = \begin{bmatrix} \frac{2}{3} & \frac{1}{6} & 0 & \dots & 0 & 0 & \frac{1}{6} \\ \frac{1}{6} & \frac{2}{3} & \frac{1}{6} & \dots & 0 & 0 & 0 \\ 0 & \frac{1}{6} & \frac{2}{3} & \dots & 0 & 0 & 0 \\ \dots & \dots & \dots & \dots & \dots & \dots & \dots \\ 0 & 0 & 0 & \dots & \frac{1}{6} & \frac{2}{3} & \frac{1}{6} \\ \frac{1}{6} & 0 & 0 & \dots & 0 & \frac{1}{6} & \frac{2}{3} \end{bmatrix} = E - \frac{h_i^2}{6} \Lambda_i$$

Благодаря делению на  $h_1 h_2$   $\Lambda$  является оператором второй разностной производной. Воспользуемся методом Фурье для решения разностной схемы. Будем искать собственные функции оператора  $\Lambda$  в виде:

$$v_k = e^{ikx}$$

Напомним решение задачи Штурма-Лиувилля в  $H_h$  для оператора второй разностной производной:

$$\begin{cases} y_{\bar{x}x} + \lambda y_i = 0, & i = \overline{1 \dots N-1} \\ y_0 = y_N \end{cases}$$

Подставив в уравнение получим собственные значения

$$\lambda_k = \frac{4}{h^2} \sin^2\left(\frac{kh}{2}\right), \quad k = \overline{0 \dots N-1}$$

Так как  $B = E - \frac{h_i^2}{6} \Lambda_i$ , то собственными значениями оператора  $B$  будут:

$$\mu_k = 1 - \frac{h^2}{6} \lambda_k, \quad k = \overline{0 \dots N-1}$$

Будем искать решение в виде разложения по собственным функциям:

$$u_{ij} = \sum_{k=0}^{N_1-1} \sum_{l=0}^{N_2-1} \bar{u}_{kl} v_k(x_i) v_l(y_j)$$

Подставив в разностное уравнение наше решение, и используя линейную независимость собственных функций, получим:

$$\mu_l \lambda_k + \mu_k \lambda_l + \alpha \mu_k \mu_l + \gamma \lambda_k \lambda_l = f_{kl}$$

Где  $f_{kl}$  - преобразование Фурье  $F(g_1, g_2)$ . Таким образом:

$$u_{kl} = \frac{f_{kl}}{\mu_l \lambda_k + \mu_k \lambda_l + \alpha \mu_k \mu_l + \gamma (\lambda_k \lambda_l)^s}$$

Как было отмечено выше вид  $g_1, g_2$  определен неоднозначно. Рассмотрим несколько вариантов представления  $g_1, g_2$  и получим для каждого  $F(g_1, g_2)$ .

$$g_{1,2}(x, y) = \sum_{i=0}^{N_1-1} \sum_{j=0}^{N_2-1} g_{1,2}^{ij} \phi_i(x) \phi_j(y), \quad g_{ij} = g(x_i, y_j)$$

Учитывая то, что правая часть в (5) была нормирована на  $h_1 h_2$

$$F = \frac{1}{h_1 h_2} ((g_1, \phi_x) + (g_2, \phi_y)) \quad (6)$$

### 1.0.1 Разложение точных значений производных по базисным функциям $W_h$

$$g_{1,2}(x, y) = \sum_{i=0}^{N_1-1} \sum_{j=0}^{N_2-1} g_{1,2}^{ij} \phi_i(x) \phi_j(y), \quad g_{ij} = g(x_i, y_j)$$

Найдем  $F(g_1, g_2)$ . Пусть  $F_1 = \frac{1}{h_1 h_2} (g_1, \phi_x)$ ,  $F_2 = \frac{1}{h_1 h_2} (g_2, \phi_y)$ .

$$\begin{aligned} F_1 = (g_1, \phi_x) &= \sum_{n=0}^{N_1-1} \sum_{m=0}^{N_2-1} \int_0^{2\pi} \int_0^{2\pi} g_1^{nm} \phi_n(x) \phi_m(y) \phi'_k(x) \phi_l(y) dx dy = \\ &= \sum_{n=0}^{N_1-1} \sum_{m=0}^{N_2-1} g_1^{nm} \int_0^{2\pi} \phi_n(x) \phi'_k(x) dx \int_0^{2\pi} \phi_m(y) \phi_l(y) dy \end{aligned}$$

$$\int_0^{2\pi} \phi_n(x) \phi'_k(x) dx = G_{kn} = \begin{cases} 0, & k = n \\ -1, & k - n = -1 \\ 1, & n - k = 1 \\ 0, & \text{else} \end{cases} \quad \int_0^{2\pi} \phi_m(y) \phi_l(y) dy = B_{ml} = \begin{cases} \frac{2}{3}, & m = l \\ \frac{1}{6}, & |m - l| = 1 \\ 0, & \text{else} \end{cases}$$

$$(g_1, \phi_x) = \sum_{n=0}^{N_1-1} \sum_{m=0}^{N_2-1} g_1^{nm} G_{kn} B_{ml} = \sum_{n=0}^{N_1-1} \left( \sum_{m=0}^{N_2-1} G_{kn} g_1^{nm} \right) B_{ml} = G_1 g_1 B_2$$

Аналогично получаем, что  $F_2 = B_1 g_2 G_2$ . Таким образом  $F = G_1 g_1 B_2 + B_1 g_2 G_2$ . Матрицы  $G_1, G_2$  имеют следующий вид:

$$G_1 = \frac{1}{2h_1} \begin{bmatrix} 0 & -1 & 0 & \dots & 0 & 0 & 1 \\ 1 & 0 & 1 & \dots & 0 & 0 & 0 \\ 0 & 1 & 0 & \dots & 0 & 0 & 0 \\ \dots & \dots & \dots & \dots & \dots & \dots & \dots \\ 0 & 0 & 0 & \dots & 1 & 0 & -1 \\ -1 & 0 & 0 & \dots & 0 & 1 & 0 \end{bmatrix}$$

$$G_2 = \frac{1}{2h_2} \begin{bmatrix} 0 & 1 & 0 & \dots & 0 & 0 & -1 \\ -1 & 0 & 1 & \dots & 0 & 0 & 0 \\ 0 & -1 & 0 & \dots & 0 & 0 & 0 \\ \dots & \dots & \dots & \dots & \dots & \dots & \dots \\ 0 & 0 & 0 & \dots & -1 & 0 & 1 \\ 1 & 0 & 0 & \dots & 0 & -1 & 0 \end{bmatrix}$$

$$G_2 = \frac{h_1}{h_2} G_1^T$$

## 2 Исследование точности восстановления вариационного метода от радиуса супергаусса

Необходимо исследовать точность восстановления супергаусса от радиуса супергаусса.

В качестве области берется квадрат  $\Omega = [-1, 1] \times [-1, 1]$ , используется прямоугольная сетка размером  $512 \times 512$ . В качестве исходного волнового фронта берутся полиномы Цернике, заданные на всей области  $\Omega$ . Обозначим исходный в.ф. как  $U$ . Наклонами волнового фронта считаем первые производные по  $x, y$ , вычисленные аналитически, умноженные на супергаусс. Умножение на супергаусс обеспечивает периодичность наклонов. Восстанавливаем волновой фронт. Полученный в.ф. обозначим как  $\tilde{U}$ . Сравниваются отноормированные исходный волновой фронт  $U$  и восстановленный  $\tilde{U}$  в круге( $\Omega_0$ ), радиусом  $r_c = 0.4r$ .

Параметры метода :  $\alpha = 10^{-4}, \gamma = 0.0028, s = 0.842$ .

Формула супергаусса:

$$e^{-\left(\frac{x^2+y^2}{r^2}\right)^N}$$

где,  $r$  - радиус супергаусса,  $N$  - степень.

В расчетах используется  $N = 5$ . Алгоритм нормировки принимает на вход двумерный массив, отнимает от всех его элементов минимальный, а затем делит на максимальный. В результате получается массив значения которого лежат в сегменте  $[0, 1]$ .

$$1. U_{tmp} = U - \min U$$

$$2. U_{result} = \frac{U_{tmp}}{\max(U_{tmp})}$$

В качестве метрик для сравнения исходного и восстановленного в.ф. используются относительные нормы  $\mathbb{C}, \mathbb{L}_2$ , где  $u$  - исходный волновой фронт.

$$\|u - v\|_{\mathbb{C}} = \frac{\max_{(x,y) \in \Omega_0} |u(x,y) - v(x,y)|}{\max_{(x,y) \in \Omega_0} |u(x,y)|}$$

$$\|u - v\|_{\mathbb{L}_2} = \frac{\|u - v\|_{\mathbb{L}_2(\Omega_0)}}{\|u\|_{\mathbb{L}_2(\Omega_0)}}$$

**Data:**  $U$  - исходный волновой фронт,  $g_1$  - наклон по  $x$ ,  $g_2$  - наклон по  $y$

$g_{1r} = \{\}$ ,  $g_{2r} = \{\}$  //наклоны умноженные на супергаусс соответствующего радиуса  $r$

$U_r = \{\}$  //восстановленные волновые фронты при соответствующих радиусах  $r$

$L_r, C_r = \{\}, \{\}$  //относительные нормы между исходным и восстановленным волновыми фронтами

**for**  $r$  *in*  $supergauss\_radiuses$  **do**

$g_{1r}[r], g_{2r}[r] = g_1 * supergauss_r, g_2 * supergauss_r$

$U_r[r] = method(g_{1r}[r], g_{2r}[r], \alpha, \gamma, s)$

    //normalize - нормировка волнового фронта

    //mask - круг, в котором сравниваются волновые фронты

$mask = get\_mask(r_c = 0.4r)$

$diff = normalize(U_r[r] * mask) - normalize(U * mask)$

$L_r[r] = \|diff\|_{\mathbb{L}_2}$

$C_r[r] = \|diff\|_{\mathbb{C}}$

**end**

**Result:**  $L_r, C_r$

**Algorithm 1:** Алгоритм

Пример восстановления волнового фронта для полинома  $Z_2^2 = \rho^2 \cos(2\varphi) = (x^2 + y^2) \cos(2 \arctg \frac{x}{y})$ :

$$\frac{d}{dx} Z_2^2 = 2\rho \frac{d\rho}{dx} \cos(2\varphi) - 2\rho^2 \sin(2\varphi) \frac{d\varphi}{dx}$$

$$\frac{d}{dy} Z_2^2 = 2\rho \frac{d\rho}{dy} \cos(2\varphi) - 2\rho^2 \sin(2\varphi) \frac{d\varphi}{dy}$$

$$\frac{d\rho}{dx} = \frac{x}{\sqrt{x^2 + y^2}}$$

$$\frac{d\rho}{dy} = \frac{y}{\sqrt{x^2 + y^2}}$$

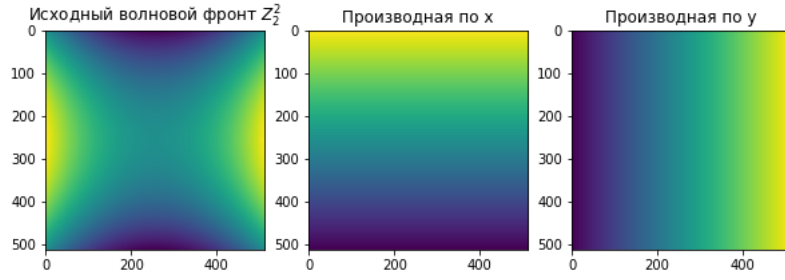
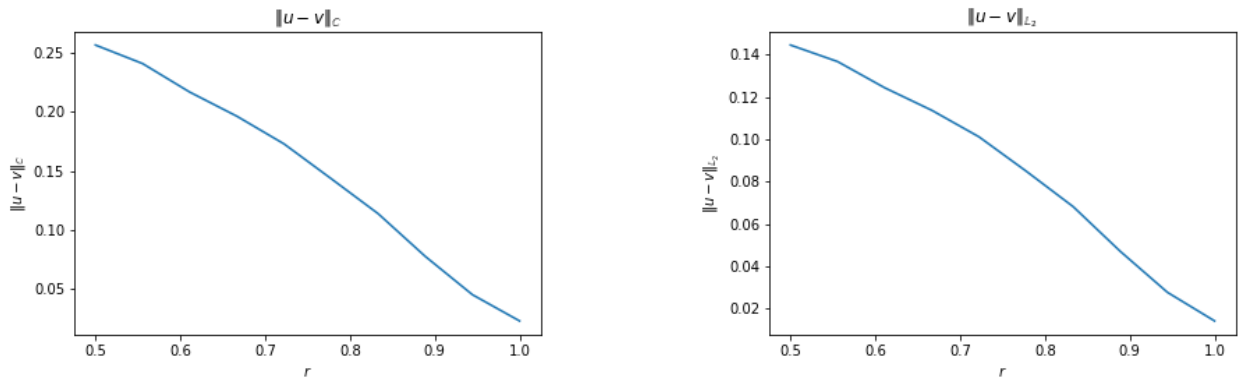


Рис. 1: Полином  $Z_2^2$



$$\frac{d\varphi}{dx} = \frac{1}{y(1 + (\frac{x}{y})^2)}$$

$$\frac{d\varphi}{dy} = -\frac{x}{y^2 + (1 + (\frac{x}{y})^2)}$$

Зависимость точности восстановления от радиуса супергаусса:

Пример восстановления волнового фронта для полинома  $Z_3^3 = \rho^3 \cos(3\varphi) = \sqrt{x^2 + y^2}(x^2 + y^2) \cos(3 \arctg \frac{x}{y})$ :

$$\frac{d}{dx} Z_3^3 = 3\rho^2 \frac{d\rho}{dx} \cos(3\varphi) - 3\rho^3 \sin(3\varphi) \frac{d\varphi}{dx}$$

$$\frac{d}{dy} Z_3^3 = 3\rho^2 \frac{d\rho}{dy} \rho \cos(3\varphi) - 3\rho^3 \sin(3\varphi) \frac{d\varphi}{dy}$$

Зависимость точности восстановления от радиуса супергаусса:

Пример восстановления волнового фронта для полинома  $Z_5^5 = \rho^5 \cos(5\varphi) = \sqrt{x^2 + y^2}(x^2 + y^2)^2 \cos(5 \arctg \frac{x}{y})$ :

$$\frac{d}{dx} Z_5^5 = 5\rho^4 \frac{d\rho}{dx} \cos(5\varphi) - 5\rho^5 \sin(5\varphi) \frac{d\varphi}{dx}$$

$$\frac{d}{dy} Z_5^5 = 5\rho^4 \frac{d\rho}{dy} \rho \cos(5\varphi) - 5\rho^5 \sin(5\varphi) \frac{d\varphi}{dy}$$

Зависимость точности восстановления от радиуса супергаусса:

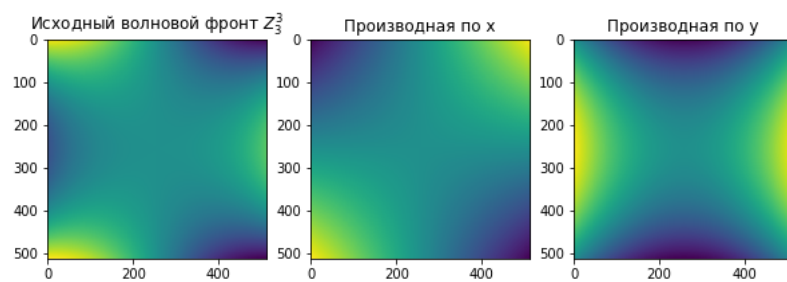


Рис. 2: Полином  $Z_3^3$

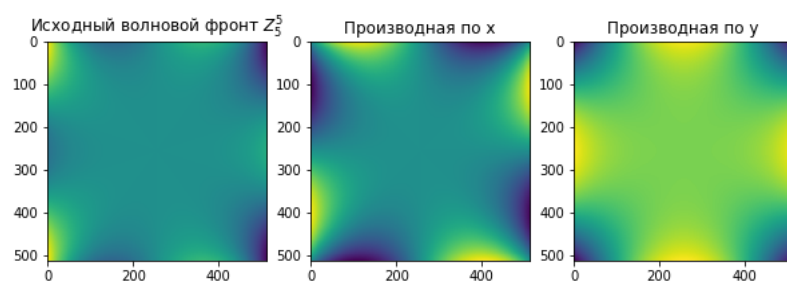
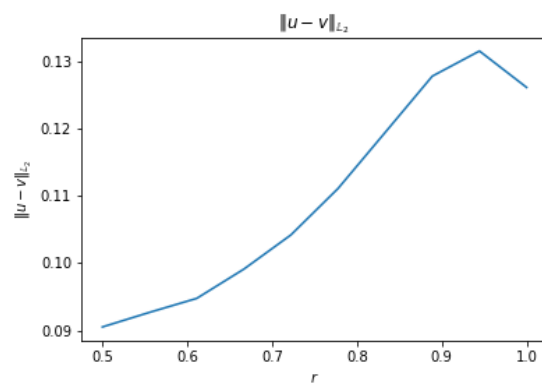
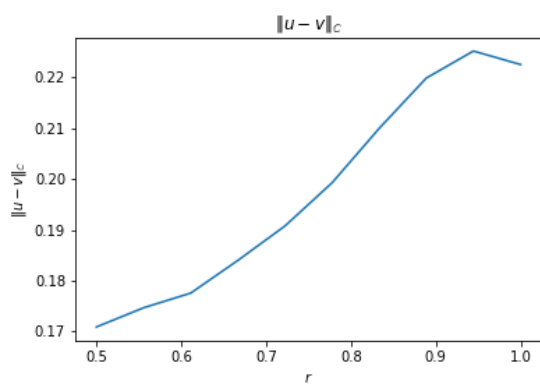


Рис. 3: Полином  $Z_5^5$



